



CRICTE 2017

XXVIII Congresso Regional de Iniciação Científica e Tecnológica em Engenharia



COMPENSAÇÃO DE ERROS DE RELÓGIO EM CONVERSORES ANALÓGICO-DIGITAIS ENTRELAÇADOS

Anderson de Lima Luiz

Acadêmico do curso de engenharia elétrica da Universidade Federal do Paraná
anderson.limaluiz@gmail.com

Ph. D Luis Henrique Assumpção Lolis

Professor do curso de engenharia elétrica da Universidade Federal do Paraná
luis.lolis@eletrica.ufpr.br

Resumo. Pretende-se, ao longo desta pesquisa, eliminar a deriva de clock em ADCs entrelaçados, corroborando a teoria de reconstrução de sinais não uniformemente amostrados utilizando técnicas de filtragem de resposta ao impulso finita, assim como interpolação através de polinômios de Lagrange. Para validar o algoritmo, foram aplicados sinais de múltiplos tons. A métrica de desempenho utilizada para avaliar o algoritmo foi o SNR. O método utilizado para implementação do estudo foi realizado na plataforma virtual MATLAB®. Simulações com a plataforma virtual MATLAB® mostram o aumento da qualidade do sinal com a aplicação dos filtros de interpolação em até 59.91 dB para um erro de offset de 0.02. Possibilitando a construção de um ADC de 9 bits.

Palavras-chave: ADC entrelaçado. Banco de filtros FIR. Clock skew.

1. INTRODUÇÃO

No que concerne a conversão do sinal analógico para o digital, destaca-se a dificuldade de suprir simultaneamente velocidades elevadas e altas resoluções com baixo consumo e baixa superfície de silício. Os conversores analógico-digitais

entrelaçados (*Time-Interleaved-Analog-to-Digital-Converters - TIADCs*) são uma alternativa para aplicação em dispositivos como uma proposta para resolução do problema do alto consumo para um grande desempenho. O desempenho do método mostra-se mais eficiente do que o uso individual de vários ADCs para manipulação de dados explicado por Murmann *et al.* [1], todavia três erros importantes se destacam no TIADC: erros de offset, ganho e deriva de clock. Dentre os erros presentes no TIADC, a deriva de clock é a que impacta mais em sinais que demandam uma precisão maior – dado que regiões onde as derivadas são maiores afetam muito a reconstrução do sinal. Propõe-se a utilização de filtros de resposta impulso finita (FIR) para corrigir a deriva de clock dos múltiplos conversores analógico-digitais e otimizar a reconstrução do sinal. Entre os principais aspectos estudados, destacam-se a teoria de reconstrução de sinais não uniformemente amostrados, o estudo da ferramenta de simulação MATLAB®, o desenvolvimento da plataforma de simulação para o teste dos filtros FIR, aplicação de erros de offset e deriva de clock e assim como a validação dos filtros a partir de sinais de múltiplos tons. Dentro dos testes iniciais, destaca-se a aplicação de diferentes janelas de reconstrução. As técnicas para a

compensação de *clock skew* são baseadas na reconstrução de sinais não uniformemente amostrados, que conduziram o desenvolvimento dos filtros *FIR* de interpolação – Oppenheim *et al.*[2]. O estudo da reconstrução de sinais não-uniformemente amostrados foi conduzido para construção dos filtros *FIR*.

2. FUNDAMENTAÇÃO TEÓRICA

2.1 – Funcionamento do TIADC

Como a proposta dos *TIADCs* é trabalhar com a multiplexação dos sinais dos M conversores, então a saída do mesmo será a soma de cada um dos sub-conversores:

$$y[n] = \sum_{i=0}^{M-1} y_{i[n]} \quad (1)$$

A figura 1 mostra a como o sinal é multiplexado:

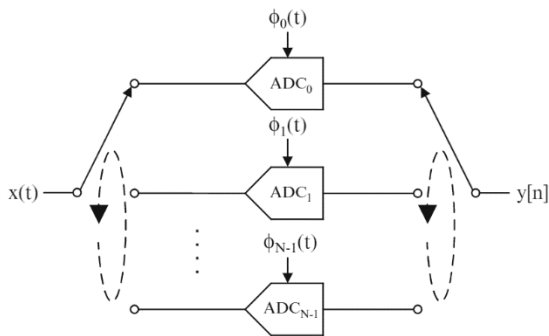


Figura 1 – Diagrama representando o funcionamento do TIADC.

No domínio da frequência, amostrado por funções *delta de Dirac* o sinal será descrito como:

$$Y_i(f) = X(f) * D_i(f) = \frac{1}{M} \sum_{k=-\infty}^{\infty} e^{-j\frac{2\pi k}{M}i} \cdot X\left(f - \frac{k}{M}\right) \quad (2)$$

Devido a própria natureza do funcionamento do TIADC – pequenos erros no instante de aquisição do sinal analógico devido a pulsos de *clock* alocados podem distorcer bastante o sinal que se objetiva reproduzir. A equação que descreve o comportamento do sinal de

saída considerando irregularidades no sinal de *clock* podem ser observadas a seguir:

$$Y_i(f) = \frac{1}{M} \sum_{k=-\infty}^{\infty} \sum_{i=0}^{M-1} e^{-j\frac{2\pi k}{M}\tau_i} \cdot e^{-j\frac{2\pi k}{M}i} \cdot X\left(f - \frac{k}{M}\right) \quad (3)$$

Onde τ_i corresponde ao tempo de atraso ao adiantamento tomando como referência o tempo para o funcionamento ideal.

2.2 Interpolação de Lagrange

A domínio analítico da amostragem não-uniforme é corroborada pela interpolação de Lagrange – a qual afirma que a interpolação pelo filtro *sinc* pode ser aproximada por um filtro *passa-baixas*, quando os conversores analógico-digitais estão uniformemente espaçados como segue na publicação de Oppenheim *et al.*[3]. É postulado que o sinal pode ser adequadamente amostrado pelo somatório do sinal amostrado em t_n multiplicado por uma função de Lagrange:

$$x(t) = \sum_{n=-\infty}^{\infty} x_c(t_n) \frac{G(t)}{G'(t_n)(t-t_n)} \quad (4)$$

Onde $G(t)$ é denotado por

$$G(t) = (t-t_0) \prod_{\substack{k=-\infty \\ k \neq 0}}^{\infty} \left(1 - \frac{t}{t_k}\right) \quad (5)$$

A interpolação utilizando a Eq. (4) é chamada interpolação de Lagrange. A transformada de Fourier do polinômio de Lagrange, é limitada em banda e forma uma sequência biortogonal a e^{jn} entre $[-\frac{\pi}{T_N}, \frac{\pi}{T_N}]$,

dado que pela Ref. [3]:

$$|t_n - nT_N| \leq d < \frac{T_N}{4}, \text{ para todo } n \in Z \quad (6)$$

A amostragem periodicamente não uniforme pode ser vista como uma combinação de N sequências de amostras uniformes Logo, "nessa forma de amostragem, os pontos de amostragem são divididos em grupos de N pontos cada. Os grupos tem um período

recorrente, que é denotado por T , que é igual a N vezes o período de Nyquist” citado por Oppenheim *et al.* [4]”. A equação (5) pode ser resumida como:

$$G(t) = t \prod_{\substack{n=-\infty \\ n \neq 0}}^{\infty} \left(1 - \frac{t}{nT}\right) \prod_{\substack{n=-\infty \\ n \neq 0}}^{\infty} \left(1 - \frac{t}{nT+t_1}\right) \dots \prod_{\substack{n=-\infty \\ n \neq 0}}^{\infty} \left(1 - \frac{t}{nT+t_{M-1}}\right) \quad (7)$$

Cada um dos produtórios convergem em uma função de senos correspondentes a

$$\frac{\sin(\pi(t - tp))}{T} \quad (8)$$

as quais podem ser provadas a partir da definição da função *sinc*, obtém-se:

$$\sin\left(\frac{\pi(t - t_p)}{t}\right) = k(t - t_p) \prod_{\substack{n=-\infty \\ n \neq 0}}^{\infty} \left(1 - \frac{t - t_p}{nT}\right) \quad (9)$$

Derivando a expressão e usando a conhecida forma para amostragem não-uniforme de sinais encontra-se:

$$x_c(t) = \sum_{n=-\infty}^{\infty} \sum_{p=0}^{M-1} x_c(nT + t_p) \cdot \frac{a_p (-1)^{nM} \prod_{p=0}^{M-1} \sin\left(\frac{\pi(t - t_p)}{T}\right)}{\pi(t - nT - t_p)} \quad (10)$$

Onde o coeficiente a_p é:

$$a_p = \frac{1}{\prod_{\substack{q=-\infty \\ q \neq p}}^{\infty} \sin\left(\frac{\pi(t_p - t_q)}{T}\right)} \quad (11)$$

2.3 Implementação dos filtros

Para converter o filtro de tempo contínuo para um filtro discreto aplicando a identidade de interpolação, é necessário trocar as ordens dos somatórios na equação da reconstrução:

$$f_p(t) = \sum_{k=-\infty}^{\infty} x_c(kT + t_p) \cdot \frac{a_p (-1)^{kM} \prod_{q=0}^{M-1} \sin\left(\frac{\pi(t_p - t_q)}{T}\right)}{\pi(t - kT - t_p)} \quad (12)$$

Reescrevendo a equação anterior como uma convolução e usando a relação:

$$\sin(t - k\pi) = (-1)^k \sin(t) \quad (13)$$

é possível obter o filtro:

$$h_p(t) = a_p T \cdot \frac{\sin\left(\frac{\pi t}{T}\right)}{\pi t} \prod_{\substack{q=0 \\ q \neq p}}^{M-1} \sin\left(\frac{\pi(t + t_p - t_q)}{T}\right) \quad (14)$$

2.4 Janelamento – Filtragem FIR

A técnica de *janelamento* consiste em truncar a resposta ao impulso do filtro em uma determinada janela de tempo. Esse processo pode ser a simples delimitação por uma janela retangular ou janelas que no domínio da frequência levam em consideração a informação presente no espectro lateral.

Por definição, o janelamento será:

$$h[n] = h_p[n] \cdot w[n] \quad (15)$$

Onde $w[n]$ é a janela e $h_p[n]$ é o filtro da Eq. (14).

3. SIMULAÇÕES E METODOLOGIA

O sinal periódico gerado para reconstrução é resumido na equação:

$$x(t) = \sin(2\pi f_{c1}t) + \cos(2\pi f_{c2}t) + \cos(2\pi f_{c3}t) \quad (16)$$

O sinal é periodicamente amostrado para obter os dados para reconstrução, e segundo os filtros e seus coeficientes são confeccionados a partir de (14) e (15). É necessário fazer a convolução do filtro pelos sinais amostrados para encontrar o sinal desejado. A reconstrução é feita com filtros contínuos e discretos para observar a diferença de desempenho. Para os mesmos fins de comparação, a reconstrução é realizada com e sem a compensação dos filtros. O *SNR* é calculado a partir da relação:

$$SNR = 10 \cdot \log_{10} \left(\frac{\text{Amplitude do sinal sem erro}^2}{\text{Amplitude do sinal com erro}^2} \right) \quad (17)$$

4. RESULTADOS

A figura 2 a seguir mostra o sinal gerado e reconstruído com filtros contínuos juntamente com os instantes de amostragem:

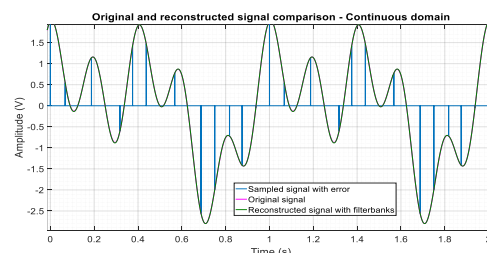


Figura 2 – Representação dos sinais reconstruído e original.

Na figura 2 é utilizado o erro de *offset* de 0.02 e as frequências da Eq. (16) foram 1 Hz, 2 Hz e 3 Hz – respectivamente.

Os filtros utilizados na compensação dos erros de *clock skew* são expostos nas figuras abaixo (discretos).

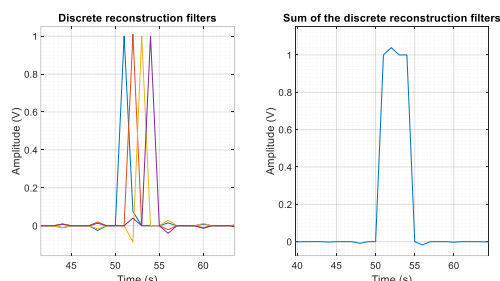


Figura 4 – Filtros discretos e sua soma

O sinal reconstruído discreto pode ser observado subsequentemente:

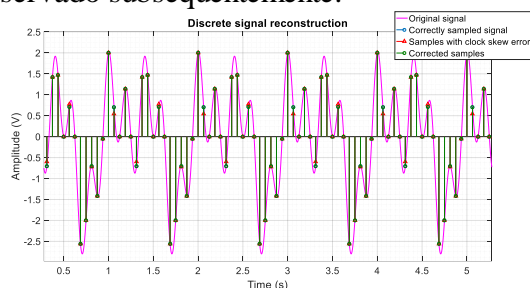


Figura 5 – Reconstrução do sinal discreto

A utilização da compensação dos filtros elevou o *SNR* de 27.8 dB para 59.9132 dB. A figura 6 mostra em preto a reconstrução do sinal sem a compensação e em amarelo com a mesma.

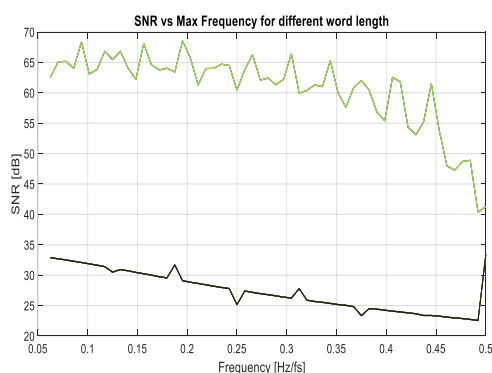


Figura 6 – Análise de *SNR*

O decaimento de *SNR* é justificado pela aproximação da frequência do sinal ao limite de *Nyquist*.

5. CONCLUSÃO

O método de compensação por banco de filtros eleva o *SNR* ao valor requerido para construção de um ADC de 9 bits para o erro de *offset* de 0.02. Quando erros menores são introduzidos o *SNR* aumenta significativamente. Para o erro de 0,005 – valor observado para aplicações padrões, Ref. [2]; o *SNR* sobe para 66.3010 dB, possibilitando a construção de um ADC de 11 bits.

6. AUTORIZAÇÕES \ RECONHECIMENTO

Este trabalho científico é reconhecido como uma iniciação tecnológica pela universidade federal do paran  (UFPR) – e autorizado para ampla divulga o.

O pesquisador faz parte do grupo *GICS* (*Group of Integrated Circuits and Systems*) do departamento de engenharia el trica da UFPR, e este trabalho ser  reconhecido como uma das publica es do grupo.

3. REFER NCIAS

- [1] El-Chammas, M.;Mурmann, B. Background calibration of time-interleaved data converters.
- [2] Oppenheim, A. V.;Schafer, R. W. Processamento em tempo discreto de sinais. 3. ed. S o Paulo: Pearson Education do Brasil, 2012.
- [3] Oppenheim, A.V.;Maymon, S. sinc interpolation of nonuniform samples.
- [4] Eldar, Y. C.; Oppenheim, A. V. Filterbank reconstruction of bandlimited signals from nonuniform and generalized samples. *IEEE Transactions on Signal Processing*, vol 48, pp. 2864–2875, 2000.

CONSIDERA ES FINAIS

Corroborou-se a teoria apresentada na Ref. [4] por meio da implementa o dos filtros discretos em um sinal peri dico. O trabalho segue no sentido de implementar o m todo e avalia o de desempenho em sinais modulados tipo *OFDM*.